

A

A

۱-۳-۲ ترانسفورماتور ولتاژ القابی

۲-۳-۲ ترانسفورماتور ولتاژ خازنی (CVT)

$$\begin{array}{ccc} (\text{CVD}^1) & & \text{CVT} \\ (\text{ - }) & & (\text{IVT}^2) \\ \text{CVT} & \frac{22}{\sqrt{3}} \text{ kv} & \text{IVT} \end{array}$$

Capacitive Voltage Divider
Intermediate Voltage Transformer

CVT

$$K_1 = \frac{c_1 + c_2}{c_1} = \frac{E_2}{E_1} \quad (-)$$

$$K_2 = \frac{E_3}{E_2} \quad (-)$$

$$K = K_1 \times K_2 \quad (-)$$

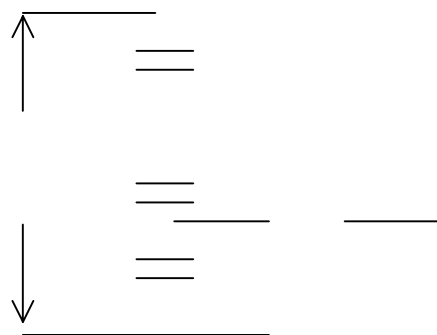
$$\frac{22}{\sqrt{3}} \text{ kv} \quad E_2 \quad K_1$$

c_1

IVT .

CVT .

(PLC³)



: (-)

۱-۴-۲ ضریب ولتاژ

IEC

V_f .

V_f

/

/

CVT

CVT

۲-۴-۲ آلودگی

CVT

CVT

CVT

۳-۴-۲ ظرفیت پراکندگی

CVT

/

/ %

CVT

$$\begin{array}{c} / \star \quad / \star \\ \text{nm} \quad \text{nm} \\ \text{B} \quad \text{E} \\ . \\ (-) \\ \text{K} \quad \text{B} \quad \text{E} \\ \text{B} \quad \text{E} \\ . \\ (-) \\ : (-) \end{array}$$

$$\cdot \quad \quad \quad y \quad x \quad \quad \quad j \quad i$$

$$(-) \quad (-)$$

۱-۳-۳ نور پلاریزه شده خطی

$$\pi \quad \quad \quad \varphi (-)$$

:

$$E(z,t) = (iE_{ox} + jE_{oy}) \cos(\omega t - hz) \quad (-)$$

x

$$\theta = \text{Arc tan}\left(\frac{E_{ox}}{E_{oy}}\right) \quad (-)$$

$$E = \left(E_{ox}^2 + E_{oy}^2\right)^{\frac{1}{2}} \quad (-)$$

۲-۳-۳ نور پلاریزه شده دایره ای

$$\cdot \quad \quad \quad (-) \quad (-)$$

$$\theta = -\frac{\pi}{2} + 2m\pi \quad m = 0, 1, 2, \dots \quad (-)$$

$$E_{ox} = E_{oy} = E_o \quad (-)$$

:

$$E(z,t) = E_o (i \cos(\omega t - hz) + j \sin(\omega t - hz)) \quad (-)$$

E

(-)

$$\theta = \frac{\pi}{2} + 2m\pi \quad m = 0, 1, 2, \dots \quad (-)$$

(-)

۳-۳-۳ نورپلاریزه شده بیضوی

 E h E

(-) (-)

$$\left(\frac{E_x}{E_{ox}}\right)^2 + \left(\frac{E_y}{E_{oy}}\right)^2 - 2\left(\frac{E_x}{E_{ox}}\right) \left(\frac{E_y}{E_{oy}}\right) \cos\varphi = \sin^2\varphi \quad (-)$$

$$\alpha \quad (E_x, E_y)$$

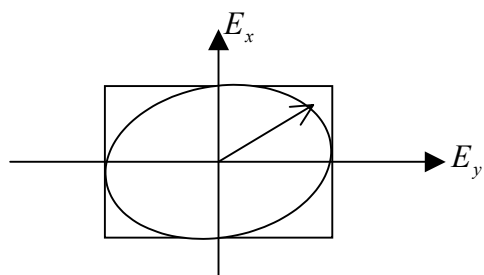
 $\alpha \quad (-)$

$$\tan 2\alpha = \frac{2E_{ox}E_{oy}}{E_{ox}^2 - E_{oy}^2} \quad (-)$$

$$\varphi = \pm(2k+1)\frac{\pi}{2} \quad E_{ox} = E_{oy} \quad (-)$$

$$\varphi \quad (-)$$

$$(-) \quad 2\pi$$

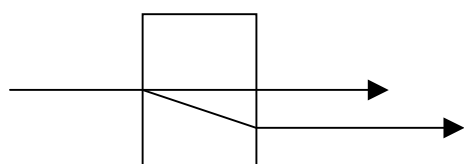


: (-)

(-)

n_o

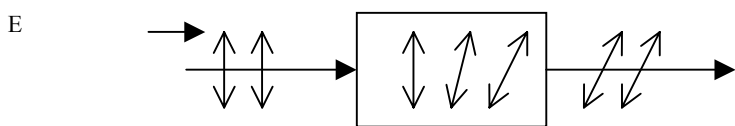
n_e



: (-)

(-)

E



: (-)

n_L n_r

d

: (-)

$$\frac{2\pi d}{\lambda_o} (n_L - n_r) \quad \beta =$$

$$n_r \langle n_L \quad (-) \quad \lambda_o$$

$$n_r \rangle n_L$$

$$\begin{array}{ccc} \varphi & \beta/d & \\ \text{deg/m} & \text{rad/m} & \\ & / * \text{ deg/m} & \\ \text{HgS} & & \\ \text{NaClO}_3 & & / * \text{ deg/m} \end{array}$$

$$\Delta n = \alpha + \beta F + \gamma F^2 \quad (-)$$

$$\beta = \frac{\Delta n}{F} \quad \gamma = \frac{\partial \Delta n}{\partial F} \quad (\text{deg/m})$$

$$\gamma = \frac{\beta}{\alpha} \quad (\text{deg/m})$$

$$\gamma = \frac{\beta}{\alpha} = \frac{\partial \Delta n}{\partial F} \quad (\text{deg/m})$$

(-)

۳-۶-۱ اثر فارادی

(magneto optic effect)

$$n_r - n_L = \frac{\lambda VH}{2\pi}$$

 n_L n_r H V λ

deg/A rad/A

B

B

$$\theta_f = V \int H \cdot dl$$

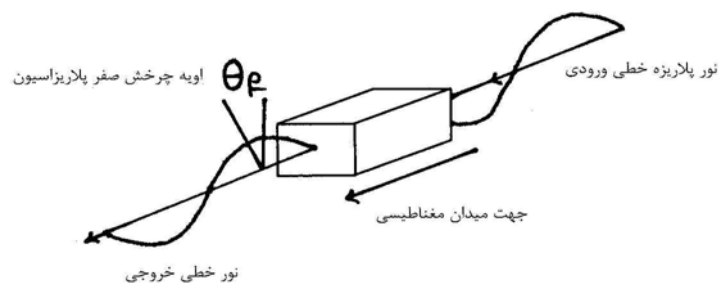
$$H \times L \quad H \cdot dl$$

:

$$\theta_f = VHL$$

$$L$$

		(rad/A)	
BSO	-----	/ × -	
YIG	TYPE 1	/ × -	
YIG	TYPE 2	/ × -	
Quartz(SF-57)	-----	/ × -	



: (-)

۳-۶-۲ اثر کر

$$n_L \quad n_\pi$$

$$\Delta_n$$

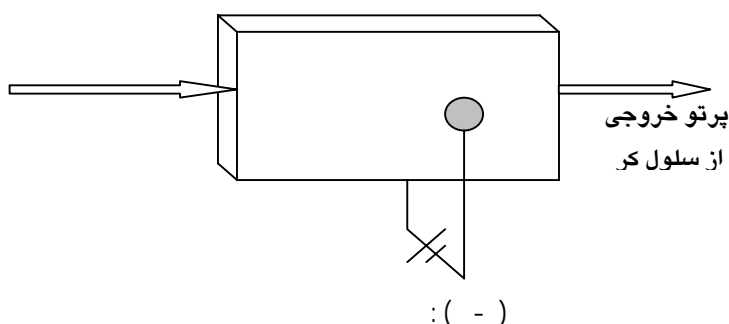
$$\Delta_n = \lambda_\circ k E^2 \quad (-)$$

$$\Delta_n \quad k \quad \lambda_\circ \quad k$$

$$n/v^2 \quad n_e - n_o$$

$$\theta_k = \frac{2\pi k L v^2}{d^2} \quad (-)$$

V



:(-)

ثبت کر	
/ × -	(H ₂ O)
/ × -	(CHCl ₃)
/ × -	(C ₆ H ₅ NO ₂)
/ × -	(C ₆ H ₆)

۳-۶-۳ اثر پاکلز

 E

$$\Delta_n = n^3 r_{63} E$$

(-)

 E $n - m/v$ r_{63}

(-)

 r_{63}

$$\theta_p = 2\pi n^3 r_{63} \frac{v}{\lambda_0}$$

(-)

 $\theta_p = \pi$

$$\theta_p = \pi \frac{v}{v_{\frac{\lambda}{2}}}$$

(-)

 $v_{\frac{\lambda}{2}}$

$$v_{\frac{\lambda}{2}} = \frac{\lambda_0}{2n^3 r_{63}}$$

(-)

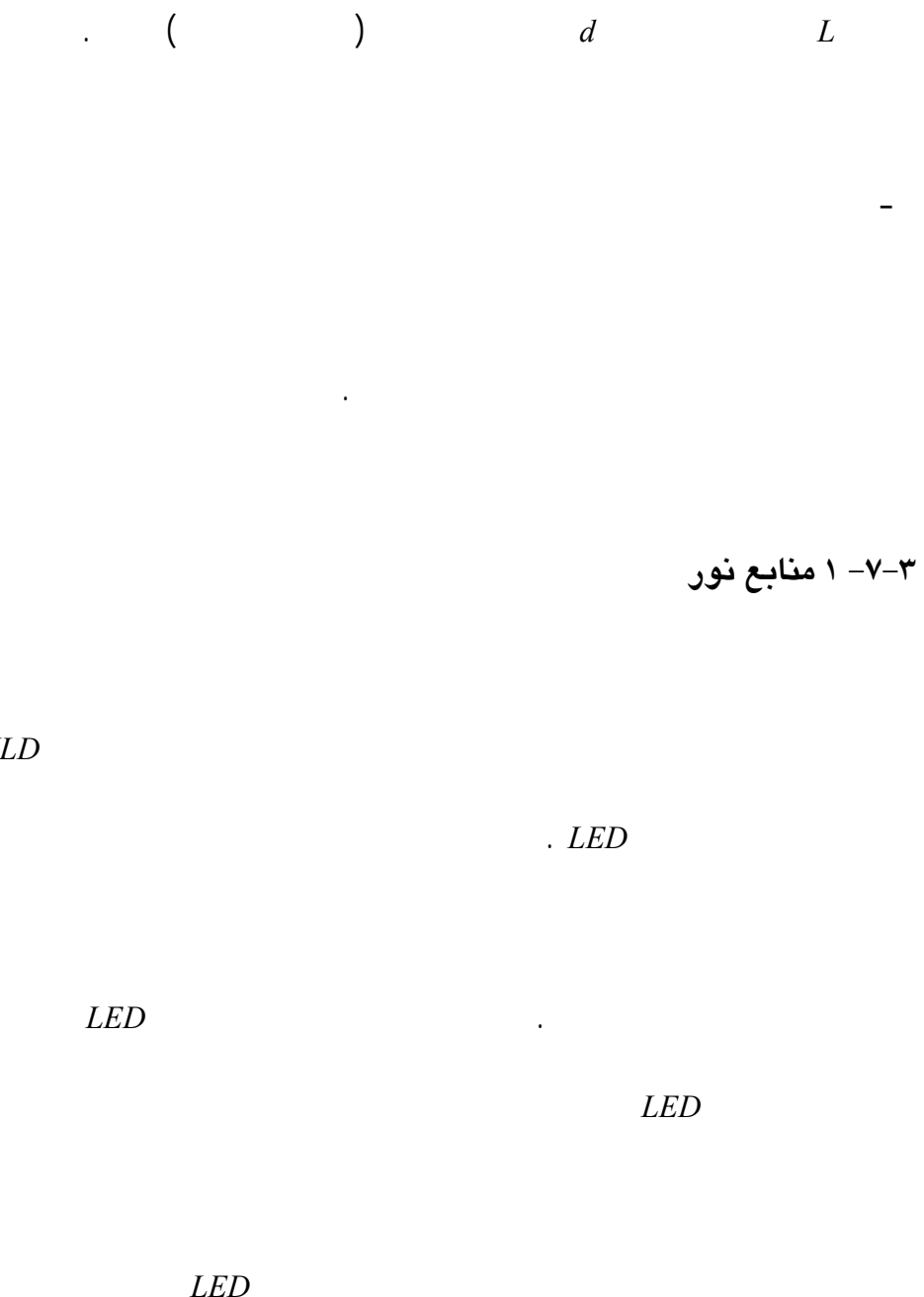
$$v_{\frac{\lambda}{2}} - n - r_{63}$$

: (-)

$v_{\frac{\lambda}{2}}$ n r_{63} : -

	$V_{\frac{\lambda}{2}} (KV)$	n_{\circ}	$r_{63}(m/v)$	
	/	/	/ * -	$Bi_{12}SiO_{20}(BSO)$
	/	/	/ * -	$NH_4H_2PO_4(ADP)$
	/	/	/ * -	$KH_2PO_4(KDP)$
	/	/	/ * -	$LiTaO_3$
	/	/	/ * -	$LiNbO_3$

$$\theta_p = 2\pi n^3 r_{63} \frac{VL}{\lambda d} \quad (-)$$



۱-۷-۳ منابع نور

۲-۷-۳ تار نوری

LED

n_1

$n_2 \langle n_1$

۳-۷-۳ قطبشگر^۴

۴-۷-۳ تیغه ربع موج و نیمه موج^۵

π

$\frac{\pi}{2}$

Polarizer
Half wave plate and quarter wave plate-

μm

/

$n_e - n_o$

$\frac{\pi}{2}$

۳-۷-۵ آشکار سازی نور

APD⁷ pin :

بررسی ترانسهاهای ولتاژ نوری

OPT) . (

OPT -

$$\theta_K = 2\pi KL \frac{v^2}{d^2} \quad (-)$$

$$L \qquad \qquad d \qquad \qquad v$$

$$\cdot \qquad \qquad K$$

$$\theta_K$$

$$\theta_K$$

$$\theta_K$$

$$)$$

$$\circ \qquad \qquad \qquad ($$

$$) \qquad \circ$$

$$($$

$$\Lambda_o = M_p(135)M_kM_p(45)\Lambda_i \quad (-)$$

$$\Lambda_i$$

$$\Lambda_o = 0.5 \begin{bmatrix} \sin^2(\frac{\theta_k}{2}) \\ 0 \\ \sin^2(\frac{\theta_k}{2}) \\ 0 \end{bmatrix} \quad (-)$$

$$\vdots$$

$$P = p_{in} \sin^2(\frac{\theta_k}{2}) \quad (-)$$

$$\theta_k \quad P_{in}$$

$$P = P_{in} \sin^2\left(\frac{\pi KLV^2}{d^2}\right) \quad (-)$$

$$P = P_{in} \sin^2\left(\frac{\pi}{2} \times \left(\frac{v}{v_m}\right)^2\right) \quad (-)$$

$$v_m = \frac{d}{(2KL)^{\frac{1}{2}}} \quad (-)$$

$$v_m$$

$$(-)$$

$$P \quad (-)$$

$$\text{mm} \quad \text{mm}$$

$$)$$

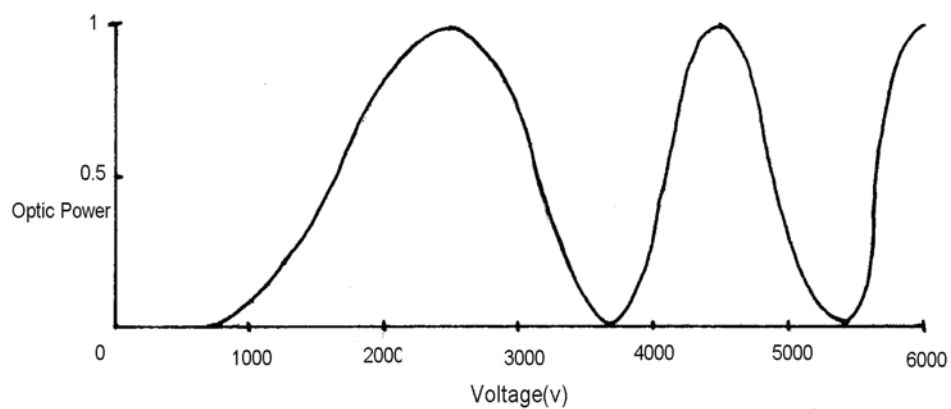
$$($$

$$\text{OPT}$$

$$\theta_k$$

$$\frac{2\rho}{\rho_{in}} = 1 + \theta_k = 1 + 2\pi KL \frac{v^2}{d^2} \quad (-)$$

P (-)



: (-)

OPT -

OPT

OPT

OPT

۱-۳-۴ اصول کار OPT

OPT

$$\theta_p = \frac{\pi v}{v_{\frac{\lambda}{2}}} = 2\pi n^3 r \frac{v}{\lambda} \quad (-)$$

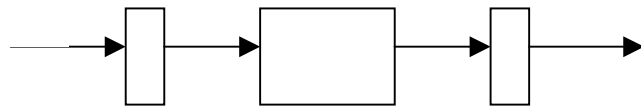
v λ r n

$$v_{\frac{\lambda}{2}}$$

$$\theta_p$$

۲-۳-۴ سیستم مدولاسیون شدت نور در OPT

OPT (-) .



: (-)

$$\Lambda_o = M_o(135)M_{pk}M_p(45)\Lambda_i \quad (-)$$

M_{pk}

$$\begin{aligned} \rho &= \rho_{in} \sin^2\left(\frac{\theta_p}{2}\right) & (-) \\ \rho &= \rho_{in} \sin^2\left(\pi n^3 r \frac{v}{d}\right) = \rho_{in} \sin^2\left(\frac{\pi}{2} \times \frac{v}{v_{\lambda}}\right) & (-) \end{aligned}$$

$\vdots \theta_p$

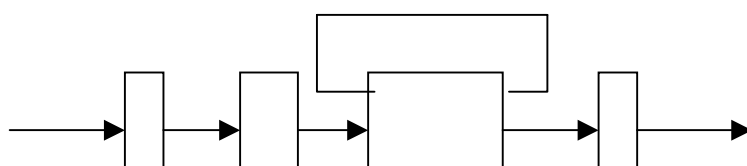
)

(-

$$\Lambda_o = M_p(135)M_{pk}M_{\frac{\lambda}{4}}(90)M_p(45)\Lambda_i \quad (-)$$

$$M_{\frac{\lambda}{4}}$$

$$\rho = 0.5 \rho_{in}(1 + \sin(\theta_p)) \cong 0.5 \rho_{in}(1 + \theta_p) = 0.5 \rho_{in}(1 + \frac{\pi v}{v_{\frac{\lambda}{2}}}) \quad (-)$$



:(-)

$$\Lambda_o = M_p(135)M_{\frac{\lambda}{4}}(90)M_{pk}M_p(45)\Lambda_i \quad (-)$$

$$(-).$$

۳-۳-۴ مدار پردازش سیگنال در OPT

$$\theta_p$$

OPT

$$v_{out} = \cos(\theta_k) \quad (-)$$

$$v_{out} = \sin(\theta_k) \quad (-)$$

$$\theta_p \quad \theta_k \quad OPT$$

۴-۲-۴ مواد سازنده سلول پاکلز

BSO $Bi_4Ge_3O_{12}$ $LiTaO_3$ BGO $LiNbO_3$

BGO

BSO BGO

BGO

$LiTaO_3$ $LiNbO_3$

BGO

Ω/Cm

BGO

BGO

BGO

BSO

BSO

BGO

BSO

$$P = P_m(1+m)$$

$$(-)$$

$$m = \pi \frac{v}{v_\lambda} f(v)$$

$$(-)$$

$$f(v) = \frac{\sin[g(v)]}{g(v)} \quad (-)$$

$$g(v) = \sqrt{(\pi \frac{V}{V_{\frac{\lambda}{2}}})^2 + (2\varphi d)^2} \quad (-)$$

$$d \quad \varphi \quad V_{\frac{\lambda}{2}}$$

m

OPT

OPT

OPT

۱-۴-۴ مشخصه خروجی OPT

OPT

$$\theta_p \quad \theta_k$$

$$OPT \quad (-)$$

OPT : (-)

OPT		
OPT	$\cos(\theta_k)$	$\cos(\theta_k) \cong \theta_k$
OPT	$\sin(\theta_p)$	$\sin(\theta_p) \cong \theta_p$

OPT

(-)

OPT

OPT

OPT

OPT

OPT

OPT

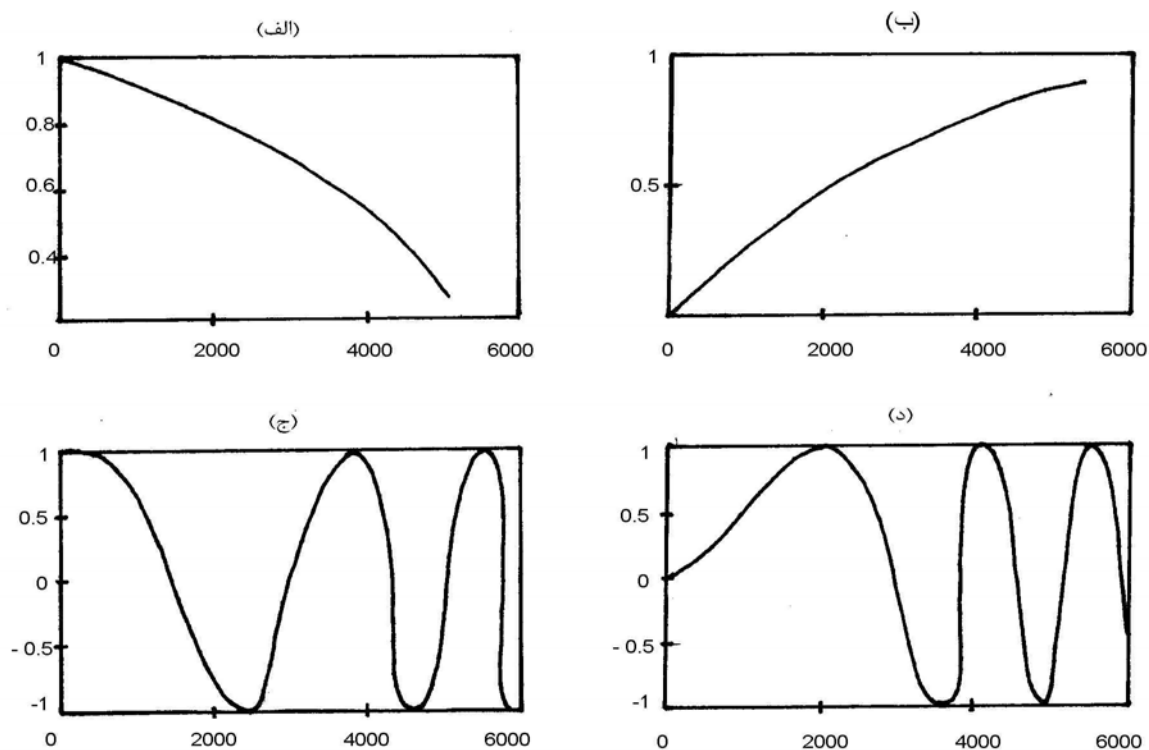
(-)

OPT

OPT

$$V_{\frac{\lambda}{2}} \quad \theta_p$$

$$V_{\frac{\lambda}{2}}$$



: (-)

OPT

OPT

OPT

OPT

$$\pi V \langle 0.25 V_{\frac{\lambda}{2}}$$

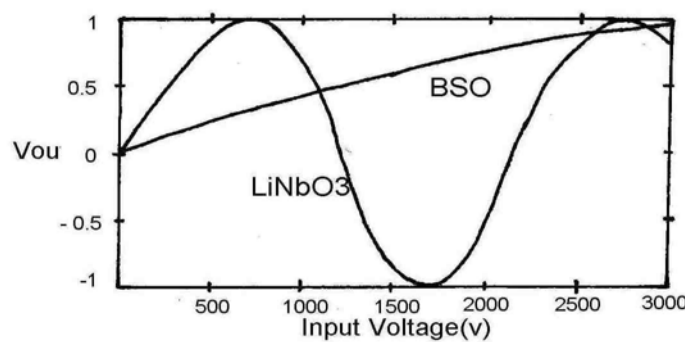
$$V_{\frac{\lambda}{2}}$$

(-)

OPT

$$V_{\frac{\lambda}{2}}$$

 $LiNbO_3 \quad BSO \quad OPT$



: (-)

۲-۴-۴ مشخصه حرارتی OPT

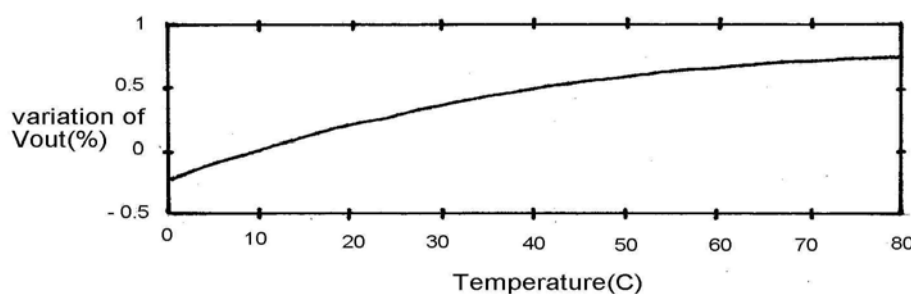
OPT

$$\theta_p = \pi \frac{V}{V_{\frac{\lambda}{2}} (1 + \Delta V_{\frac{\lambda}{2}} \times \Delta T)} \quad \text{OPT}$$

$$\theta_p = \pi \frac{V}{V_{\frac{\lambda}{2}} (1 + \Delta V_{\frac{\lambda}{2}} \times \Delta T)} \quad (-)$$

$$/ * ^{-\Delta} / \circ C \quad LiTaO_3 \quad V_{\frac{\lambda}{2}}$$

(-)

LiTaO₃*LiTaO₃* : (-)

BSO

$$\begin{array}{ccc} BSO & V_{\frac{\lambda}{2}} & \cdot \\ & / * -^{\Delta} / \circ c & / * -^{\Psi} / \circ c \end{array}$$

$$(-) \quad \Delta T$$

$$g(V) = \sqrt{\left[\frac{\pi V}{V_{\frac{\lambda}{2}}(1 + \Delta V_{\frac{\lambda}{2}} \cdot \Delta T)} \right]^2 + [2\varphi(1 + \Delta\varphi \cdot \Delta T)d]^2} \quad (-)$$

OPT

$$g(V) \quad (-)$$

$$m \quad (-)$$

$$\Delta T = 60^\circ C$$

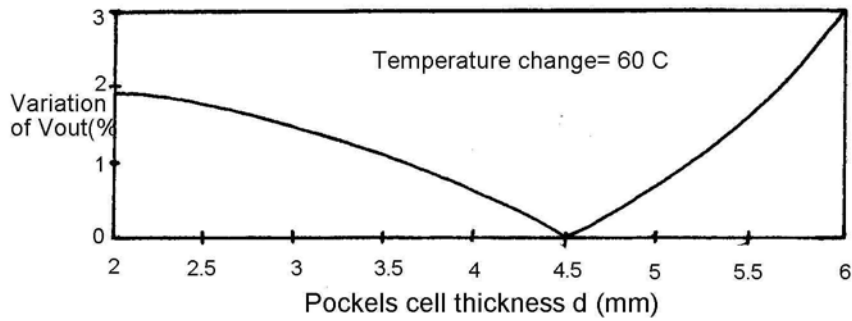
$$(-) \quad /$$

$$d = 4.7 \text{ mm} \quad d = 2 \text{ mm} \quad \text{OPT}$$

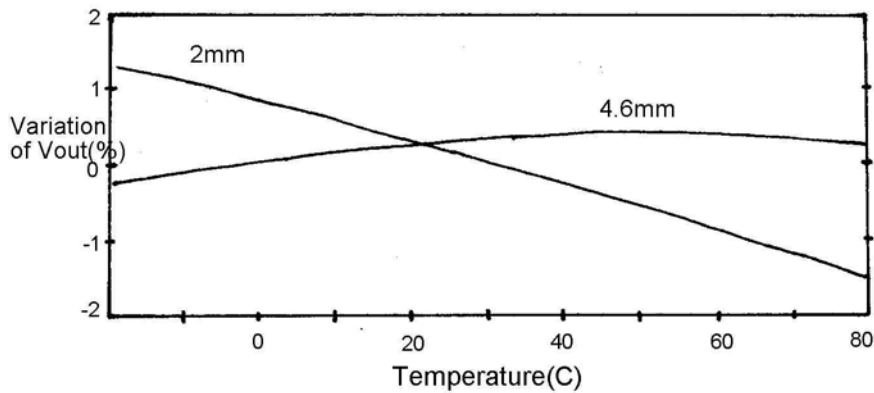
OPT

$$\pm / \% \quad - \quad / \text{ mm}$$

mm



شکل (۴-۷): رابطه بین تغییرات ولتاژ خروجی با دما و ضخامت سلول



: (-)

OPT

OPT

$$V_{\frac{\lambda}{2}}$$

$$V_{\frac{\lambda}{2}}$$

OCT

-

$$\theta_f$$

$$\theta_f$$

$$\theta_f$$

۱-۶-۴ مدار پردازش سیگنال بر اساس روش AC/DC

DC

AC

AC (-)

:

$$\begin{pmatrix} P_{\text{det}1} = 0.5 P_{in} (1 - \sin 2\theta_f(t)) \\ P_{\text{det}2} = 0.5 P_{in} (1 + \sin 2\theta_f(t)) \end{pmatrix} \quad (-)$$

$$P_{Oac} = \pm 0.5 P_{in} \sin 2\theta_f(t) \quad (-)$$

:

$$\theta_f$$

$$P_{Oac} \cong 0.5 P_{in} \theta_f(t) \quad (-)$$

:

DC

$$P_{Odc} = 0.5 P_{in} \quad (-)$$

AC (-)

DC AC

:

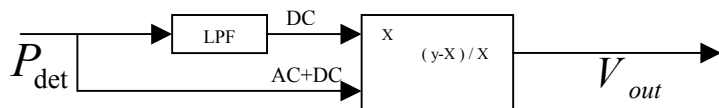
$$V_{out} = \frac{P_{O_{ac}}}{P_{O_{dc}}} = 2\theta_f(t) = AI(t) \quad (-)$$

$I(t)$ A

$\theta_f(t)$

(-)

AC/DC



AC/DC : (-)

-/+ ۴-۶-۲ مدار پردازش سیگنال به روش

- +

(-)

:

$$V_{out} = \frac{P_{det1} - P_{det2}}{P_{det1} + P_{det2}} = \sin 2\theta_f(t) \cong 2\theta_f(t) = AI(t) \quad (-)$$

-/+

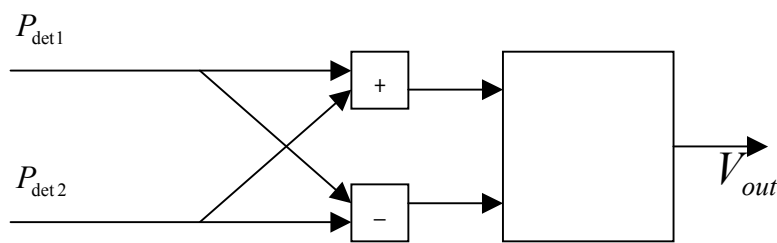
(-)

AC/DC

-/+

AC/DC

-/+

 $P_{\text{det } 2}$ $P_{\text{det } 1}$ 

-/+ : (-)

۳-۶-۴ مدار پردازش سیگنال با استفاده از متوسط شدت نور

:

$$V_{\text{out}} = \frac{P_{\text{det } 1} - \overline{P_{\text{det } 1}}}{P_{\text{det } 1}} - \frac{P_{\text{det } 2} - \overline{P_{\text{det } 2}}}{P_{\text{det } 2}} \quad (-)$$

 $\overline{P_{\text{det } 2}}$ $\overline{P_{\text{det } 1}}$ (-) θ_f

:

$$P_{\text{det } 1} \cong 0.5P_{\text{in}}(1 - 2\theta_f(t)) \quad (-)$$

$$P_{\text{det } 2} \cong 0.5P_{\text{in}}(1 + 2\theta_f(t)) \quad (-)$$

$$\theta_f(t)$$

$$P_{\text{det}1} \cong 0.5 P_{in} (1 - K I_o \sin \omega t) \quad (-)$$

$$P_{\text{det}2} \cong 0.5 P_{in} (1 + K I_o \sin \omega t) \quad (-)$$

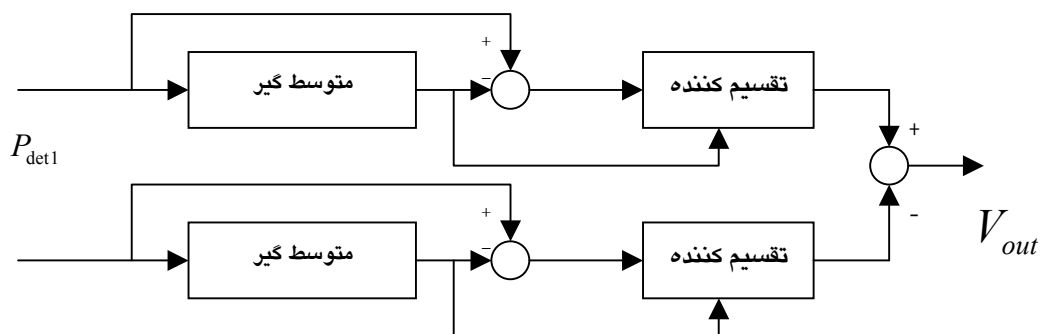
$$I_o$$

$$K$$

$$0.5 P_{in} \quad \overline{P_{\text{det}2}} \quad \overline{P_{\text{det}1}} \quad . \quad \omega$$

$$(-)$$

$$V_{out} = 2 K I_0 \sin \omega t \quad (-)$$



$$P_{\text{det}2}$$

$$:(-)$$

فصل پنجم

(CT)

(VT)

VT CT

)

(

)

(

VT CT

: دقت

IEEE / IEC / s

IEEE % p p IEC

: محدوده دینامیکی

A

VT . KA
 % %

)

(

(IPP⁸)

IPP

IPP

: پهناهی باند:

CT	KHZ	HZ
CT	DC	KHZ KHZ

: اندازه، وزن و تعداد دستگاهها:

VT	CT	:
----	----	---

VT	CT	VT	CT	-	.
		%			

امنیت درونی ، طراحی مساعد محیطی :

(SF₆)

CT

) تعوییر و نگهداری :

(

۱-۳-۵ هزینه‌های سرمایه پست و هزینه‌های ساخت

VT)

: (CT

•

•

•

•

() •

Nxt phase Hydro Quebec

CT

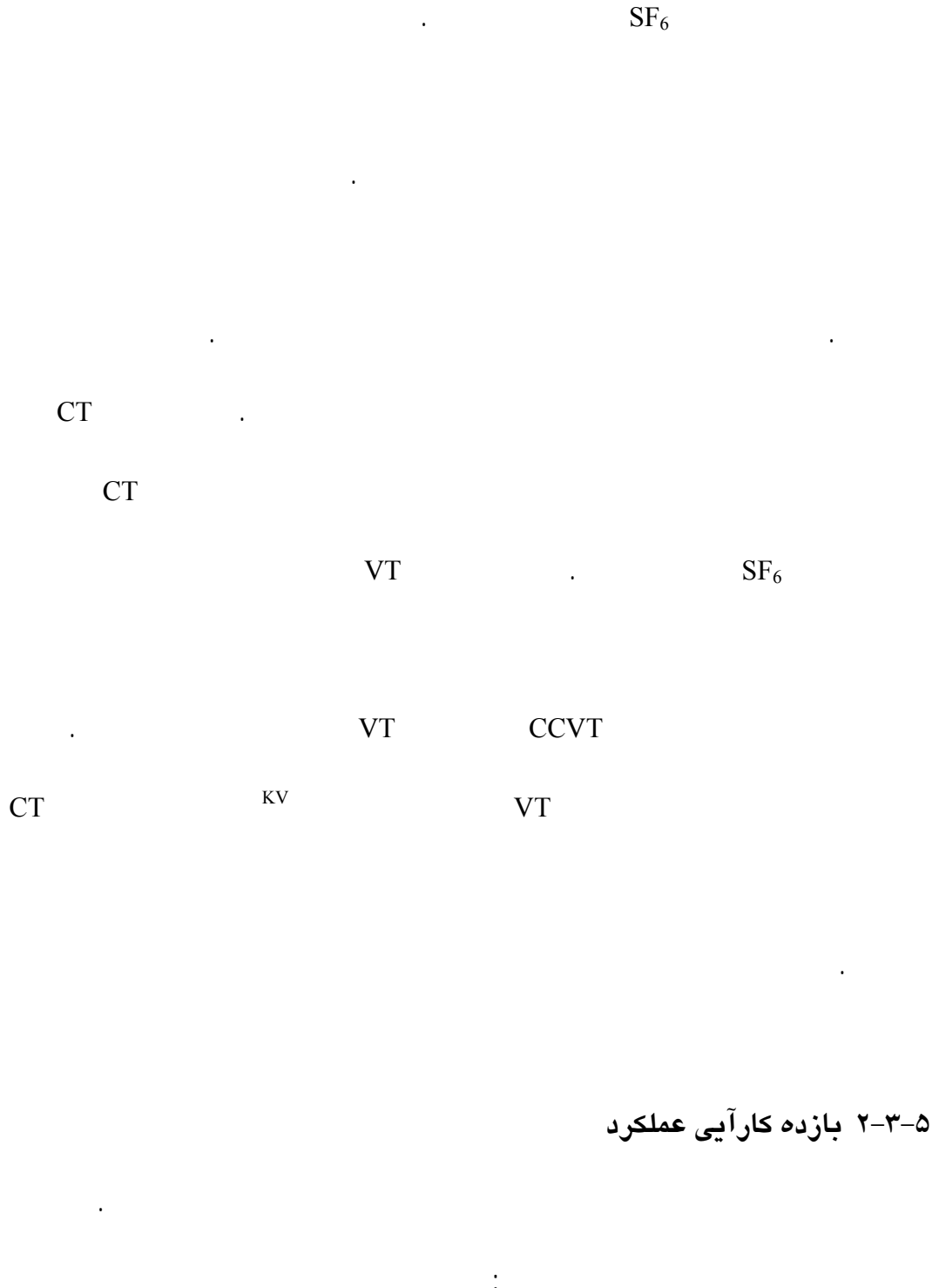
VT CT

VT

VT CT

KV

IPP



	قیمت واحد به دلار		تعداد		مبلغ کل به دلار	
	ترانس نوری	ترانس معمولی	ترانس نوری	ترانس معمولی	ترانس نوری	ترانس معمولی
سمت فشار ضعیف						
ترانسهاهای ولتاژ و جریان						
اندازه گیری						
تابلو						
					۳۵۵۰۰	۰
ترانس ولتاژ حفاظتی						
ترانس جریان حفاظتی						
ترانس ولتاژ و جریان اندازه گیری با هم						
ترانس ولتاژ و جریان اندازه گیری و حفاظتی با هم						
فوندانسیون						
آهن						
اندازه گیری						
مجموع فشار قوی					۱۷۲۰۰	۱۲۷۰۰
هزینه نصب	قیمت واحد به دلار		تعداد		مبلغ کل به دلار	
سمت فشار ضعیف	ترانس نوری	ترانس معمولی	ترانس نوری	ترانس معمولی	ترانس نوری	ترانس معمولی
زمان نصب (نفر-ساعت)						
دستمزد هر ساعت						
دستمزد نصب فشار ضعیف	۲۴۰۰	۰	۶		۱۴۴۰۰	۰
سمت فشار قوی						
زمان نصب (نفر-ساعت)						
دستمزد هر ساعت						
دستمزد نصب فشار قوی						
مجموع هزینه نصب					۲۶۶۹۰۰	۱۴۳۵۰۰

هزینه سرمایه	قیمت واحد به دلار		تعداد		مبلغ کل به دلار	
سمت فشار ضعیف	ترانس نوری	ترانس معمولی	ترانس نوری	ترانس معمولی	ترانس نوری	ترانس معمولی
ترانسهاهای ولتاژ و جریان						
اندازه گیری						
تابلو						
مجموع فشار ضعیف					۳۵۵۰۰	۰
<hr/>						
سمت فشار قوی						
ترانس ولتاژ و جریان اندازه گیری با هم پرشده روغن						
ترانس ولتاژ و جریان اندازه گیری و حفاظتی با هم						
اندازه گیری						
مجموع فشار قوی					۹۸۵۰۰	۱۲۲۵۰۰
<hr/>						
هزینه نصب	قیمت واحد به دلار		تعداد		مبلغ کل به دلار	
سمت فشار ضعیف	ترانس نوری	ترانس معمولی	ترانس نوری	ترانس معمولی	ترانس نوری	ترانس معمولی
زمان نصب (نفر-ساعت)						
دستمزد هر ساعت						
دستمزد نصب فشار ضعیف	۲۴۰۰	۰	۶		۱۴۴۰۰	۰
مجموع نصب فشار ضعیف					۲۰۸۴۰۰	۱۷۰۵۰۰
<hr/>						
سمت فشار قوی						
فوندانسیون						
آهن						
زمان نصب (نفر-ساعت)						
دستمزد هر ساعت						
دستمزد نصب فشار قوی						
مجموع هزینه نصب					۲۰۸۴۰۰	۱۷۰۵۰۰

KV

IPP

MW

IPP

MW

MWhr

MW

	ترانس معمولی	ترانس نوری با اندازه گیر ورودی دیجیتال	ترانس نوری با اندازه گیر ورودی معمولی
ترانس جریان	/ %	/ %	/ %
ترانس ولتاژ	/ %	/ %	/ %
سیم کشی	/ %		
اندازه گیری	/ %		/ %
مجموع	%	/ %	/ %
توسعه و بهبود		/ %	/ %
احتمال توسعه و بهبود		/ %	/ %
توسعه و بهبود در سال	\$	\$	\$
۱۵% NPV در صد سال برای ۳۰ سال	\$	\$	\$

IPP

V V

A A

IEC

UCA-

ANSI/IEEE

KV

MW

% /

MW

VT

CC VT

CC VT

/ %

SCADA

/

KV KV

MW

MW .

۳-۳-۵ صرفه‌جویی‌های نگهداری و تعمیرات

SF₆

SF₆

. (Cigre :) . /

%

SF₆

CT

()

() NIST

CT

SF₆

SF₆

KV

	ترانس معمولی	ترانس نوری
تعداد واحد ها		
ارزش هر صورت کالا	\$	\$
۱۵٪ هزینه هر صورت کالا اعمال شده بر هزینه هر سال	\$	\$
۱۵٪ NPV برای ۳۰ سال	\$	\$
صرفه جویی توسط سیستم نوری		۳۴۰.... \$
تعداد نصب برای هر صورت کالا		
تخمین صرفه جویی برای هر نصب		۳۴۰۰ \$

۴-۳-۵ صرفه جویی های مصرف دوره نهایی^۹

: SF₆

% SF₆

۲۳۰ KV در ۶۰۰ MW IPP مثال عملکرد ۵-۳-۵

KV

%

: (% /)

: ()

:

« » « »

CT

PT

-

(PT)

(CT)

(CVT)

۱-۲-۶ احتمال انفجار

SF₆ PT CT

۲-۲-۶ اشباع شدن هسته ترانسفورماتور

emf¹⁰

dc

dc

)

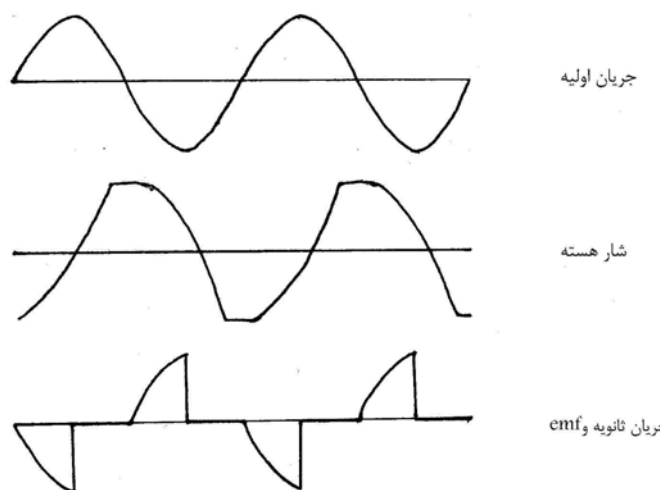
(

dc

emf

) . (-)

(.



(-)

۶-۲-۳-۱ اثر فرورزونانس^{۱۱}

۱-۳-۲-۶ ترانسفورماتورهای ولتاژ خازنی

(.)

Hz

۲-۳-۴-۶ ترانسفورماتورهای جریان و ولتاژ القایی

CVT

۶-۲-۴ شار پس ماند^{۱۲}

B-H B

۵-۲-۶ وزن و حجم زیاد

۶-۲-۶ محدود بودن دقت آنها

VT

%

%

IEC 186

%

%

۱-۳-۶ عدم احتمال انفجار

۶-۳-۲ عدم ایجاد پدیده فرورزونانس در آنها

۶-۳-۳ بدون اثر شار پس ماند

۶-۳-۴ وزن و حجم کم

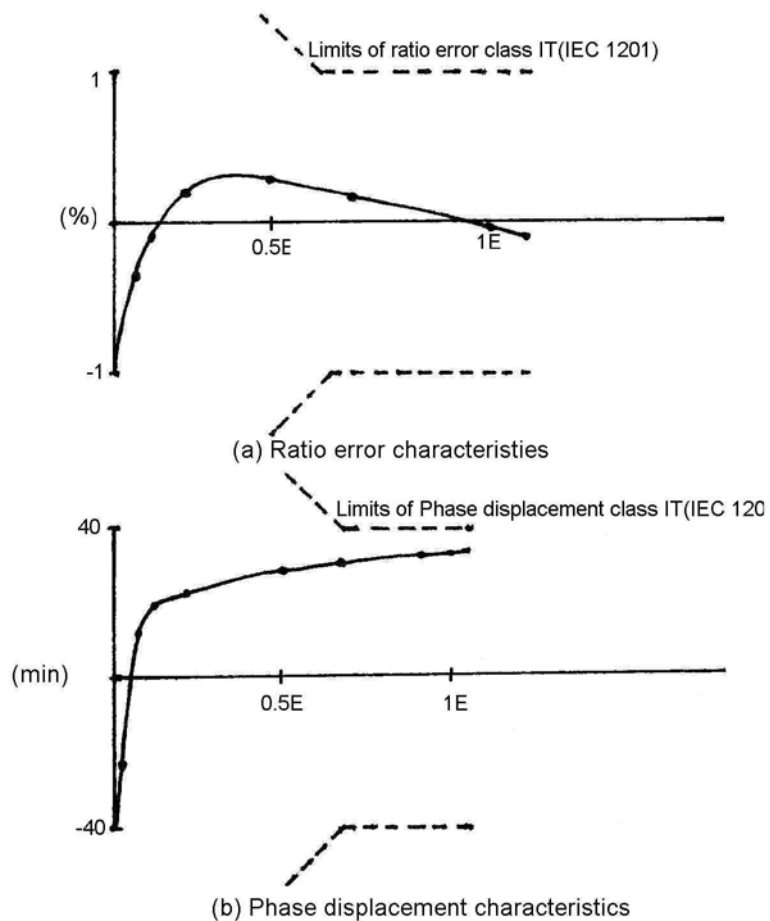
OCT

OVT

۶-۳-۵ داشتن دقت بالا

OVT (-)

(-) OVT



:(-)

۶-۳-۶ داشتن سرعت پاسخ دهی بالا

OVT

VT

OCT

OVT

GIS

GIS OVT

$\pm 1\%$

/

GIS

ABB []

OCT

KV

۱-۱-۷ مقدمه

(OVT)

KV OVT

(BC Hidro internal ANSI/IEEE C57.13 (60044-2 and-7)IEC¹³

/ OVT specification) BC

IEEE

/ IEC

(-)

OVT

OVT

^{KV} OVT

)

(

OVT

OVT

OVT

SF₆

N₂

طرح ۲-۱-۷ : OVT

OVT

b a

b a

x

b a

: ()

$$V_{ba} = - \int_a^b E_x(x) dx \approx \sum_{i=1}^N \alpha_i E_x(x_i) \quad (1)$$

x_i

N

x

E_x

\alpha_i

\alpha_i

x_i

(N)

E_x

(media)

E_x^{unp}

b a x

x

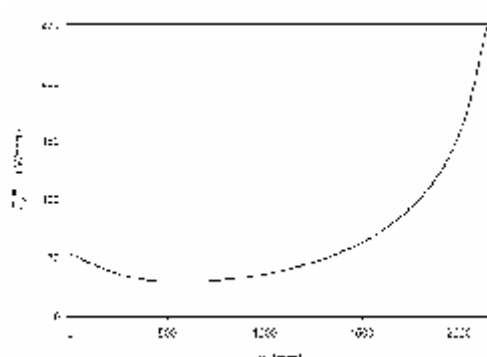
()

OVT

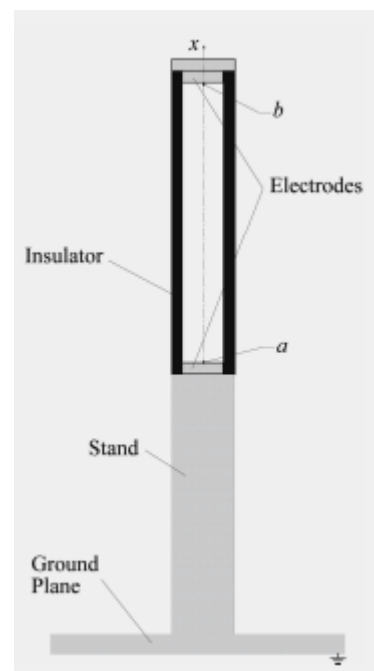
/ m b-a

OVT

OVT



$$E_x^{\text{unp}}$$



$$\text{OVT} \quad E_x^{\text{unp}} : \quad \text{OVT} \quad :$$

$$\text{OVT} \quad (N=3)$$

$$K \quad \text{OVT} \quad : \quad E_x$$

$$(\text{IEC \% / })$$

$$\text{OVT} \quad \text{OVT} \quad (\quad)$$

$$/ \quad (\quad \text{OVT}) \text{ OVT} \quad :$$

N () E_x^{unp}

()

.

)

α_i	$x_i [mm]$	
/	/	
	/	
/	/	

Pockels

/

DSP

۳-۱-۷ برپایی آزمایش:

OVT KV

Kg

OVT

psi

/ m OVT

OVT OVT

() OVT

/



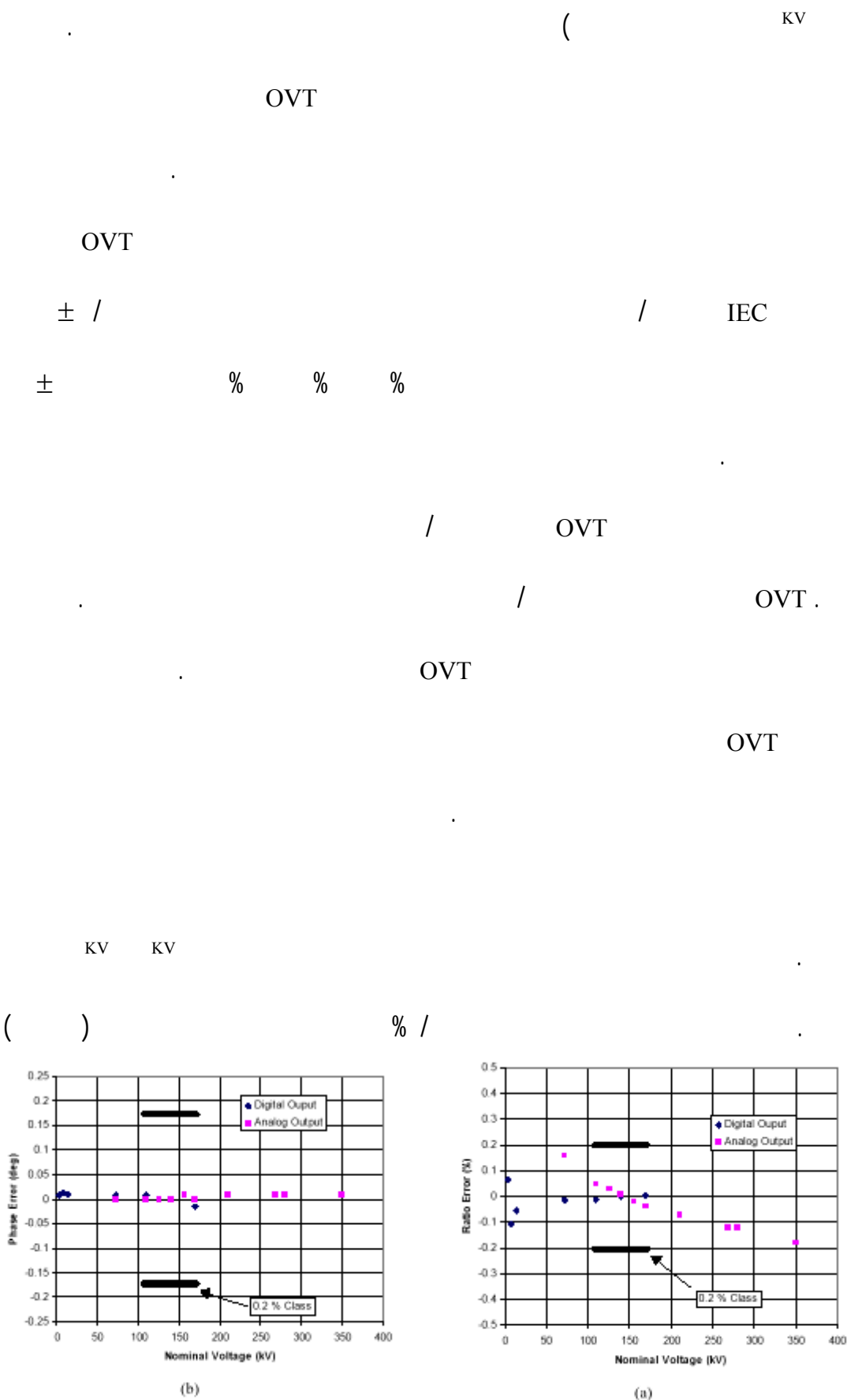
شکل ۳: مجموعه تست فشار قوی برای OVT ۲۳۰ کیلو ولت

: (IEC)

- ()

OVT OVT

) - KV



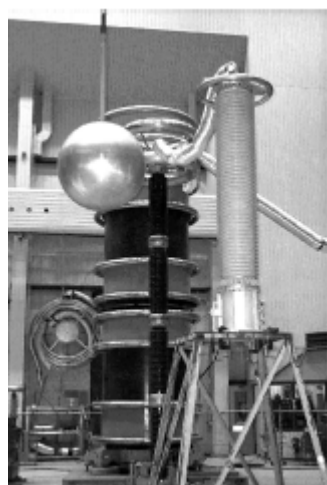
OVT

m

()

OVT

m



/

:

/

:

% /

OVT

(

)

درصد خطأ	ارتفاع	فاصله(متر)	نوع آشفتگی
/	----	----	
/	----	/	
/		/	
/		/	

واگن زمین شده			- /
نزدیکی فاز در ۱۲۰ درجه		----	(- / °) /

 E_x

OVT

 E_x $E_{x,i}$

:

	$\Delta E_{x,1}$	$\Delta E_{x,2}$	$\Delta E_{x,3}$
/	% - /	% /	% /
/	% - /	% /	% /
/	% - /	% /	% /
	-	% /	% /
	(- / °) % - /	(/ °) % /	(/ °) % /



OVT

KV OVT

OVT

IEC

IEC 60044-7

% /

OVT

±

± % /

OVT

)

% / OVT (OVT

SF_٥

-

: مقدمه ۱-۲-۷

KV KV

OVT

OVT

) IEEE/ ANSI C / / IEC - /

(/ /

(KHZ)

OVT

OVT

OVT

SF_g

KV OVT . (Stress) KV

OVT

OVT

()

OVT

IEC IEEE

۲-۲-۷ اصول طرح و کارکرد

OVT

. ()

) OVT

(

$$V_{ba} = - \int_a^b E_x(x) dx \approx \sum_{i=1}^N \alpha_i E_x(x_i) \quad ()$$

$M\Omega$

HZ

۳-۲-۷ نتایج تست‌های آزمایشگاهی ولتاژ بالا:

 KV OVT KV OVT

HV

OVT

()

() D/A

 KV OVT . KV OVT

: : :

۱-۳-۲-۷ بازدهی در مورد دقت

IEEE / IEC / OVT .

OVT

(RCF¹⁵)(TCF¹⁴)

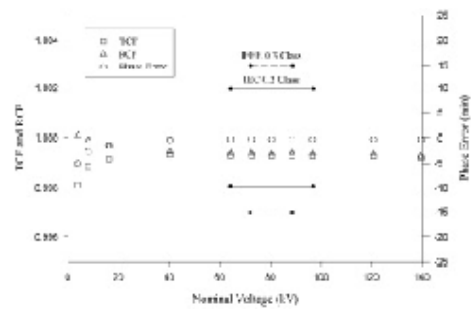
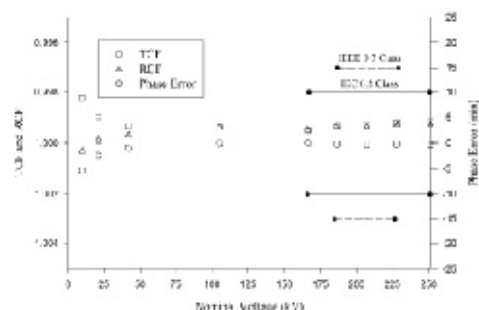
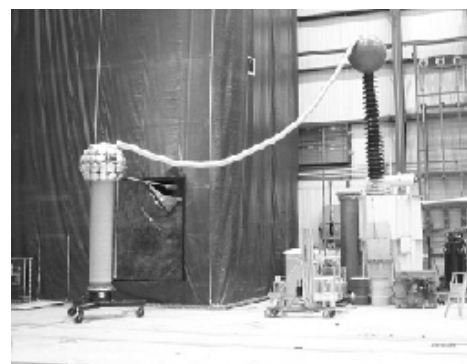
Transformer Correction Factores

Ratio Correction Factores

KV KV

OVT

OVT



KV OVT

RCF TCF :

KV OVT

RCF TCF :

KHZ

OVT

KV OVT

KHZ

()

(Total Harmonic

% / % / OVT

Distortion)

HZ

OVT

OVT

(

)

OVT

(OVT
(/	/
	/	/
	/	/
	/	/
	/	/
	/	/
	/	/
	/	/
	/	/
	/	/
	/	/
	/	/
	/	/
	/	/

OVT

OVT .()

OVT

OVT



^{KV} OVT :

TCF

± % /) IEC / OVT KV KV OVT

. (/ < TCF < /) IEEE / (± min

()

.()

OVT TCF :

()	()		()	TCF
/		/	/	/
/		/	/	/
/		- /	- /	/
/		/	- /	/
/		- /	- /	/
/		- /	- /	/
/		- /	- /	/
/		- /	- /	/

/		- /	- /	/
/		- /	- /	/
/		- /	- /	/
/		- /	- /	/

OVT	TCF	:	TCF
()	()		
	/	/	/
	/	/	/
	/	/	/
	/	/	/
	/	/	/
	/	- /	/
	/	- /	/
	/	- /	/
	- /	- /	/
	- /	- /	/

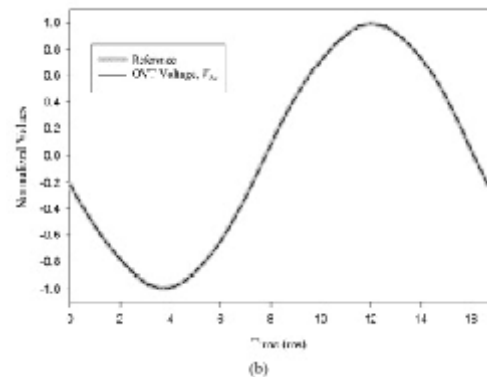
HZ

HZ

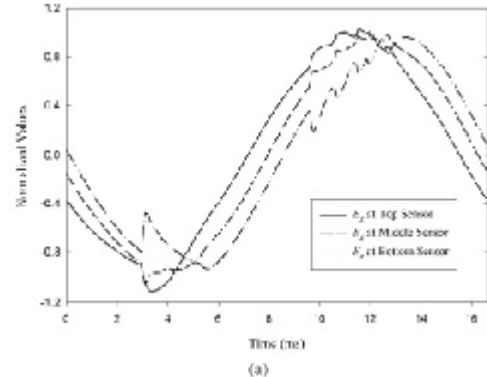
OVT

OVT

OVT



(b)



(a)

^{KV} OVT :

-B

OVT

)

-

(

HV

^{KV} OVT

MS / MS

/ KV

MS MS

KV

KV

^{KV} OVT

KV
OVT

KV OVT

ms ms

KV OVT

OVT

()	(pc)	IEC 60044-2
/	<	< pc
/	<	< pc
	<	< pc
	<	< pc
	/	< pc
	/	-----
	/	-----
	/	-----
	/	< pc
	/	< pc
	<	< pc
/	<	< pc
/	<	< pc

OVT

OVT

KV KV KV

KV KV

OVT

OVT .

OVT

:

()	(pc)	IEC 60044-2
	/	< pc

KV

a.c.

HZ

VT

KV

(Elastooptic)

dc

(V_π)

KV

(Link)

۲-۳-۷ سنسور پاکلز فشار قوی و ترانسفورماتور ولتاژ نوری بر پایه سیستم WLI

Polarimetric

KV

(Birefringent)

WLI

الف- مدولاتورهای الکترونوری در تنظیمات طولی

E

$$n = n_0 + rE + SE^r + \dots \quad ()$$

$$S - r$$

$$n_0$$

$$()$$

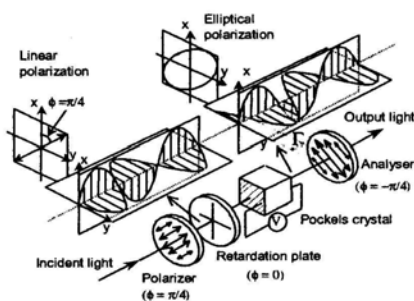
$$\Gamma$$

$$\Gamma = (\gamma\pi/\lambda)\Delta n \times L \quad ()$$

$$L$$

$$\Delta n$$

$$\lambda$$



$$V = E \times L$$

$$\Delta n = n_r r_f, \frac{V}{L} \quad ()$$

$$V_\pi = \frac{\lambda}{\gamma n r_{f_1}} \quad ()$$

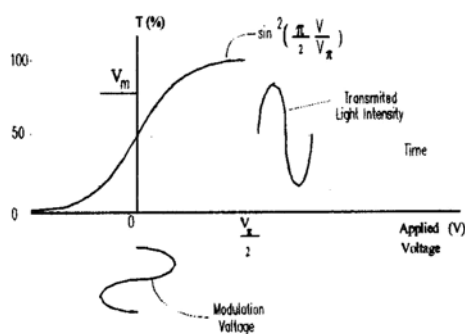
$$\phi_r \quad \Gamma \quad \Gamma_t$$

$$\Gamma_t = \phi_r + \pi \frac{\theta}{V_n} \quad ()$$

$$T \quad \phi_r = \frac{\pi}{\gamma}$$

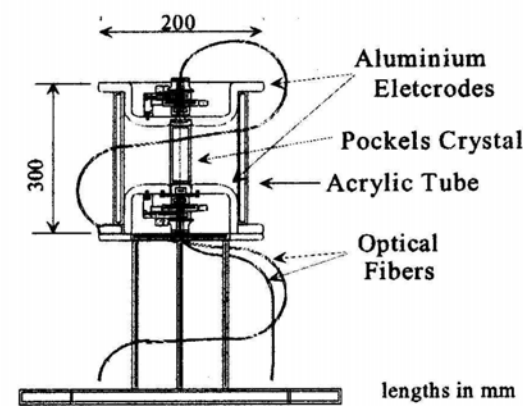
$$T = \frac{I_o}{I} = \sin^2 \left[\frac{\pi}{\gamma} + \frac{1}{2} \pi \frac{V(t)}{V_\pi} \right] \quad ()$$

$$(\quad)$$



ب- سنسورهای پاکلز ولتاژ بالا بر اساس مدولاسیون طولی :

(OVT)



()

acrylic

$Bi_3Ge_4O_{12}$

. $(1 \times 5 \times 10 \text{ mm})$ (BGO)

mm

mm

acrylic

mm

/ m (GRIN¹⁶)

± / mm

- db

$$r_{41} = 1/03 \times 10^{-k} \left(\frac{m}{\nu} \right), n_{\circ} = / \quad \text{BGO}$$

$$\lambda = 1/321 \mu\text{m} \quad (\text{SLD}^{17})$$

$$V_{\pi} \cong / \text{ kv}$$

ج - تکنیک WLI اعمالی برای سنسورهای پاکلز ولتاژ بالا جهت ساخت یک

ترانسفورماتور نوری ولتاژ بالا :

()

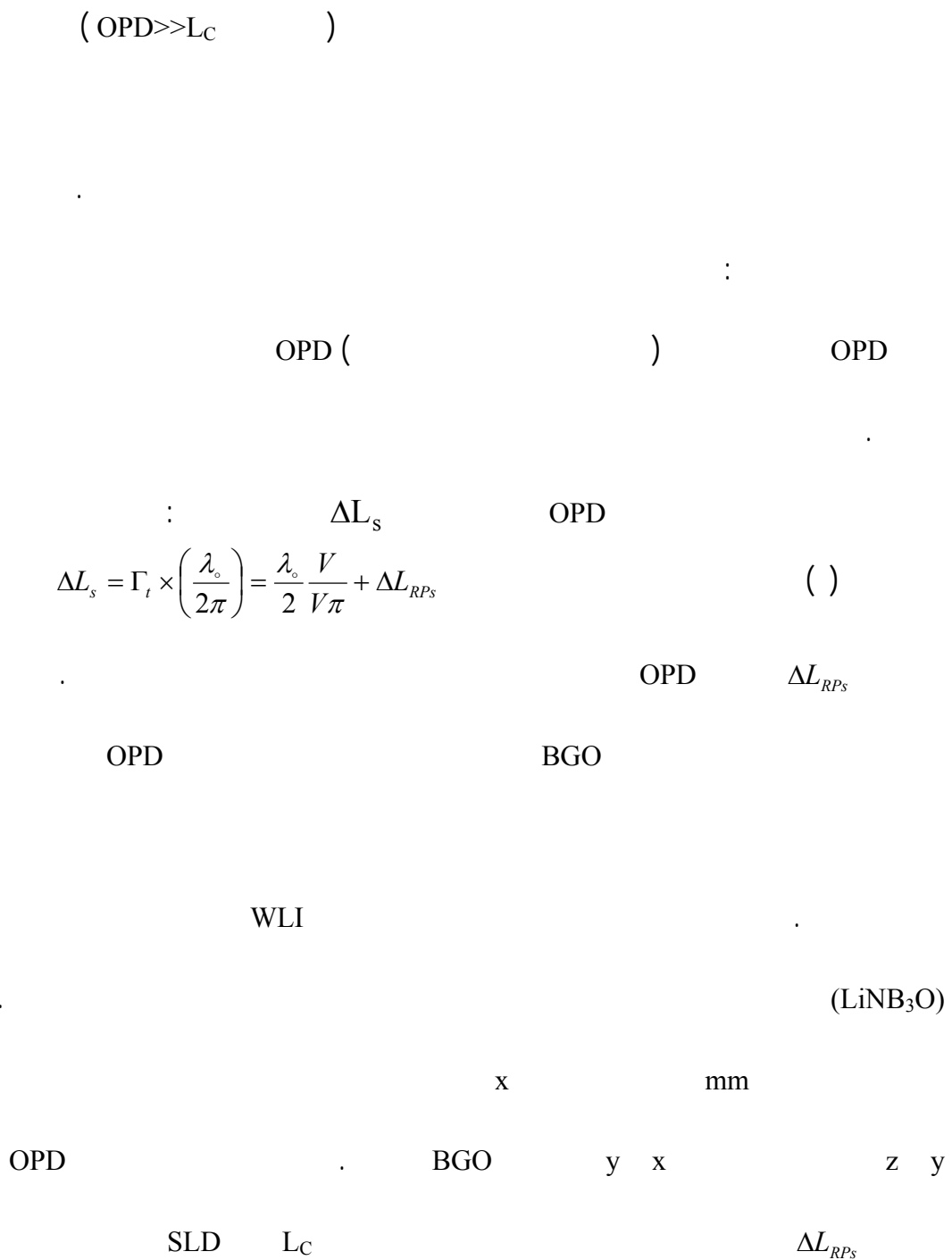
WLI

(L_C) (OPD¹⁸)

Graded INdex

Super Luminescent Diode

Optical Path Difference



$$I_o = \frac{1}{4} \alpha_s \cdot \alpha_R \cdot I_i \left\{ 1 + \frac{1}{2} e^{-(\pi \Delta L / L_c)^2} \cos 2\pi \frac{\Delta L}{\lambda_0} \right\} \quad ()$$

$$\alpha_s \quad (\text{SLD}) \quad I_i$$

$$\alpha_R \quad \text{SLD}$$

$$\text{OPD} \quad \Delta L \quad \lambda_0$$

$$\Delta L = \Delta L_s - \Delta L_{R\text{Pr}}$$

$$\text{OPD}$$

$$\text{OPD}$$

$$\Delta L_{R\text{Pr}} = \Delta L_{R\text{Ps}} - \frac{\lambda_0}{\epsilon} :$$

$$I_o \quad ()$$

$$I_o = \frac{1}{4} \alpha_s \cdot \alpha_R \cdot I_i \left\{ 1 + \frac{1}{2} e^{-\left[\frac{\lambda_0}{2} \left(\frac{\pi V}{V_n} - \frac{\pi}{2} \right) \right] / L_c^2} \cos \left(\pi \frac{V}{V_\pi} - \frac{\pi}{2} \right) \right\} \quad ()$$

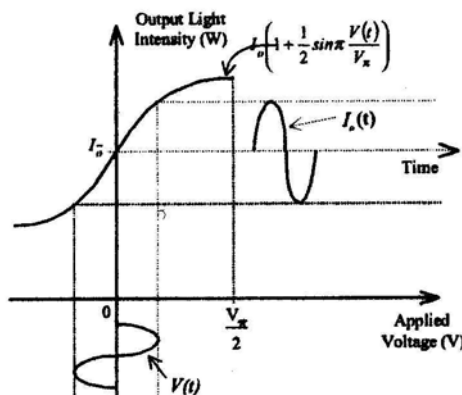
$$() \quad \lambda_0 \quad L_C$$

$$I_o \quad |V| < V_\pi$$

$$:$$

$$I_o = I_o^- \times \left(1 + \frac{1}{2} \sin \pi \frac{V}{V_\pi} \right) \quad ()$$

$$I_o = \frac{1}{4} \alpha_s \alpha_R I_i$$



WLI

د- ترانسفورماتور ولتاژ بالا نوری با استفاده از تنظیمات WLI

) I_o

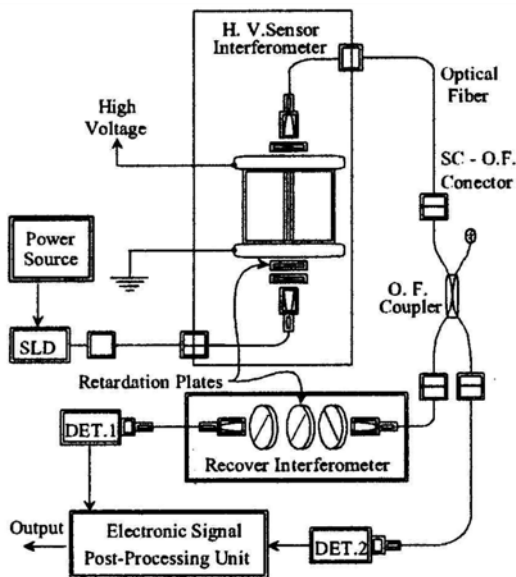
WLI

α_t

(

WLI

()



WLI

$$I_{os} = \frac{1}{\gamma} \alpha_s I_i \left\{ 1 + e^{-(\pi \Delta L_s / L_c)^\gamma} \cos \gamma \pi \frac{\Delta L_s}{\lambda_o} \right\} \quad (1)$$

$$I_s \quad . \quad \quad \quad \Delta L_s \gg L_c$$

$$I_{os} = \frac{1}{2} \alpha_s I_i = \frac{2}{\alpha_R} I_o \quad (2)$$

(O.F¹⁹)I_{os}

(DET.2)

α_t

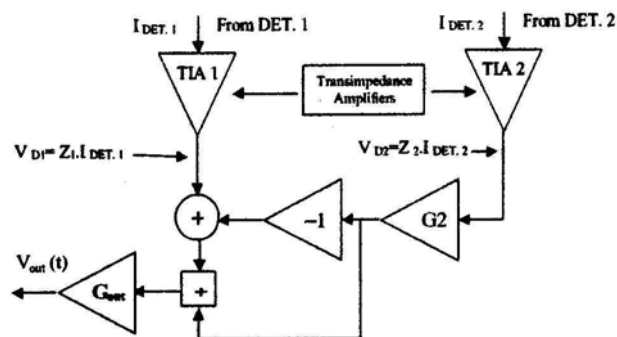
Optic Fibert coupler

db

(DET.1)

$$I'_o = \alpha_{ex} \frac{I_o}{2} \quad , \quad I'_{os} = \alpha_{ex} \frac{I_{os}}{2} = I_o \frac{\alpha_{ex}}{\alpha_R} \quad ()$$

O.F α_{ex}



) (DET.2) (DET.1)

$$(V_{D_x}, V_{D_y}) \quad (I_{DET.2}) \quad (I_{DET.1})$$

TIA_γ TIA_γ

$$V_{D_1} \quad V_{D_5} \quad . \quad Z_r, Z_1$$

$$V_{out}(t) \quad G_\gamma$$

$$V_{out}(t) \quad G_r = \frac{\alpha_R}{r} \quad Z_r = Z_1 \quad \dots$$

$$V_{aut}(t) = \frac{G_{out}}{2} \cdot \sin \pi \frac{V(t)}{V_\pi} \quad ()$$

$$G_{out}$$

$$V_{out}(t)$$

$$(\quad) \qquad \qquad (V(t) \quad) .$$

$$V_{out}(t) \cong \frac{G_{out}}{2} \pi \frac{V(t)}{V_\pi} \quad (\quad)$$

$$V(t) \ll V_\pi$$

۳-۳-۷ نتایج تجربی

Kv a.c

KV

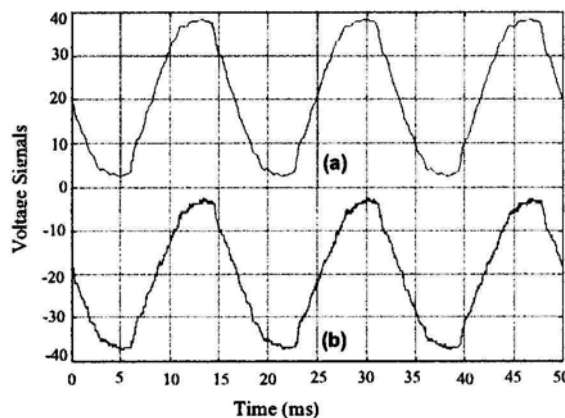
()

$$V_{out}(t)$$

$$V(t) \quad (\quad) \qquad V(t)$$

(Mod. P6015-A) Tektronix

Kv



OVT

(b)

(a)

⋮

 $G_{out}()$ $V_{out}(t)$

⋮

$$G_{aut} = \frac{V_\pi}{500\pi} \approx 44/2 \quad ()$$

⋮

$$V(t) = K \cdot V_{out} \quad ()$$

 $K = 1 \dots$

()

 G_{out} $K = 1 \dots$ $V_{out}(t)$ $V_{out}(t) \quad I_{\bar{0}}$ $I_{\bar{0}}$ $V_{out}(t) \quad \% \quad dB$

۴-۳-۷ نتیجه‌گری

WLI

()

ضمیمه ۱: تحلیل ماتریس پلاریزاسیون نور

$$V^o$$

$$\cdot \quad T$$

$$V^1$$

$$V^o$$

$$(\quad - \quad)$$

$$\cdot \quad n$$

$$(\quad - \quad)$$

۱- بردار جونز

$$\mathbf{z}$$

$$E_y \quad E_x$$

$$(\quad - \quad)$$

$$E_x = a \cos(\omega t - kz) = a \cos \varphi \quad (\quad - \quad)$$

Jones method

Muller method

$$E_y = b \cos(\omega t - kz + \delta) = b \cos(\varphi + \delta) \quad (-)$$

$$V = \begin{bmatrix} E_x \\ E_y \end{bmatrix} = \operatorname{Re} \begin{bmatrix} ae^{j\varphi} \\ be^{j(\varphi+\delta)} \end{bmatrix} \quad (-)$$

$$\begin{aligned} & \operatorname{Re} \\ V &= \begin{bmatrix} ae^{j\varphi} \\ be^{j(\varphi+\delta)} \end{bmatrix} = e^{j\varphi} \begin{bmatrix} a \\ be^{j\delta} \end{bmatrix} \quad (-) \\ & \vdots \qquad V \end{aligned}$$

$$I = C(a^2 + b^2) \quad (-)$$

$$e^{j\varphi} \quad C = 1 \quad (-)$$

$$\begin{aligned} J &= \begin{bmatrix} a \\ be^{j\delta} \end{bmatrix} \quad (-) \\ & \begin{bmatrix} a \\ b \end{bmatrix} \quad X \\ & \qquad \qquad \qquad \begin{bmatrix} a \\ ia \end{bmatrix} \end{aligned}$$

۲- پارامترهای استوکس

$$) \quad (- \quad)$$

$$(-$$

:

$$S_1 = a^2 - b^2 (\quad - \quad) \quad S_o = a^2 + b^2 (\quad - \quad)$$

$$S_3 = 2ab \sin \delta \quad (\quad - \quad) \quad S_2 = 2ab \cos \delta \quad (\quad - \quad)$$

$$S_o^2 = S_1^2 + S_2^2 + S_3^2 \quad (\quad - \quad)$$

$$(- \quad)$$

$$) .$$

$$($$

(-)

$[J_0 \quad J_1]$	$[S_0 \quad S_1 \quad S_2 \quad S_3]$	
-----	$[1 \quad 0 \quad 0 \quad 0]$	
$[1 \quad 0]$	$[1 \quad 1 \quad 0 \quad 0]$	()
$[0 \quad 1]$	$[1 \quad -1 \quad 0 \quad 0]$	()
$\frac{\sqrt{2}}{2} [1 \quad 1]$	$[1 \quad 0 \quad 1 \quad 0]$	(°)

۳- ماتریسهاهای جونز

E_i

E_t

E_i .

$E_t \quad E_i$

T

\times

⋮

$E_t = TE_i$

(-)

$$T = \begin{bmatrix} a_{11} & a_{12} \\ a_{21} & a_{22} \end{bmatrix} \quad (-)$$

(-)

T

۴- ماتریسهاهای مولر

*

(-)

$$M_\rho = \begin{bmatrix} 1 & \cos 2\theta & \sin 2\theta & 0 \\ \cos 2\theta & \cos^2 2\theta & \cos 2\theta \sin 2\theta & 0 \\ \sin 2\theta & \cos 2\theta \sin 2\theta & \sin^2 2\theta & 0 \\ 0 & 0 & 0 & 0 \end{bmatrix} \quad (-)$$

$$M_{\frac{\lambda}{4}} = \begin{bmatrix} 1 & 0 & 0 & 0 \\ 0 & \cos^2 2\beta & \cos 2\beta \sin 2\beta & -\sin 2\beta \\ 0 & \cos 2\beta \sin 2\beta & \sin^2 2\beta & \cos 2\beta \\ 0 & \sin 2\beta & -\cos 2\beta & 0 \end{bmatrix} \quad (-)$$

 θ M_ρ β $M_{\frac{\lambda}{4}}$

: (-)

ماتریس مولر	ماتریس جونز	عنصر نوری
$\frac{1}{2} \begin{bmatrix} 1 & 1 & 0 & 0 \\ 1 & 1 & 0 & 0 \\ 0 & 0 & 0 & 0 \\ 0 & 0 & 0 & 0 \end{bmatrix}$	$\begin{bmatrix} 1 & 0 \\ 0 & 0 \end{bmatrix}$	()
$\frac{1}{2} \begin{bmatrix} 1 & -1 & 0 & 0 \\ -1 & 1 & 0 & 0 \\ 0 & 0 & 0 & 0 \\ 0 & 0 & 0 & 0 \end{bmatrix}$	$\begin{bmatrix} 0 & 0 \\ 0 & 1 \end{bmatrix}$	()
$\frac{1}{2} \begin{bmatrix} 1 & 0 & 1 & 0 \\ 0 & 0 & 0 & 0 \\ 1 & 0 & 1 & 0 \\ 0 & 0 & 0 & 0 \end{bmatrix}$	$\frac{1}{2} \begin{bmatrix} 1 & 1 \\ 1 & 1 \end{bmatrix}$.
$\frac{1}{2} \begin{bmatrix} 1 & 0 & -1 & 0 \\ 0 & 0 & 0 & 0 \\ -1 & 0 & 1 & 0 \\ 0 & 0 & 0 & 0 \end{bmatrix}$	$\frac{1}{2} \begin{bmatrix} 1 & -1 \\ -1 & 1 \end{bmatrix}$	- .
$\begin{bmatrix} 1 & 0 & 0 & 0 \\ 0 & 1 & 0 & 0 \\ 0 & 0 & 0 & -1 \\ 0 & 0 & 1 & 0 \end{bmatrix}$	$e^{j\frac{\pi}{4}} \begin{bmatrix} 1 & 0 \\ 0 & -j \end{bmatrix}$	
$\begin{bmatrix} 1 & 0 & 0 & 0 \\ 0 & 1 & 0 & 0 \\ 0 & 0 & 0 & 1 \\ 0 & 0 & -1 & 0 \end{bmatrix}$	$e^{j\frac{\pi}{4}} \begin{bmatrix} 1 & 0 \\ 0 & j \end{bmatrix}$	

۵- معرفی ماتریسها فارادی، کروپاکلز

$$M_p = \begin{bmatrix} 1 & 0 & 0 & 0 \\ 0 & 1 & 0 & 0 \\ 0 & 0 & \cos\theta_k & -\sin\theta_k \\ 0 & 0 & \sin\theta_k & \cos\theta_k \end{bmatrix} \quad (\quad - \quad)$$

$$\theta_k$$

$$\theta_p \quad \theta_k \quad M_p$$

$$M_f = \begin{bmatrix} 1 & 0 & 0 & 0 \\ 0 & \cos\theta_f & \sin\theta_f & 0 \\ 0 & -\sin\theta_f & \cos\theta_f & 0 \\ 0 & 0 & 0 & 0 \end{bmatrix} \quad (\quad - \quad)$$

$$\theta_f$$

(IEC 186)

:

:(-)

	()	()	(%)	()	
/	-	-	/		
/	-	-	/		
	-	-		--	
P	-	$-V_f$			
P	-	$-V_f$			